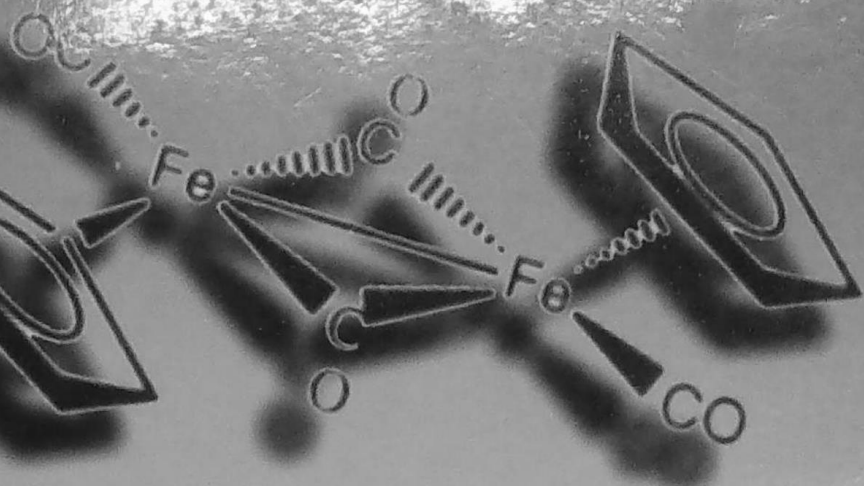


ECLÉTICA

Química



ISSN 0100-4670

VOLUME 50, NÚMERO 1
Janeiro a Março de 2005

ECLÉTICA

Química

ECLÉTICA

ECLÉTICA

Química

Editor

Antonio Tallarico Adorno

Editores Associados / Associate Editors

Antonio Eduardo Mauro

Assis Vicente Benedetti

Comissão Editorial / Editorial Board

Heloise de Oliveira Pastore	(Instituto de Química – Unicamp)
Lúcio Angnes	(Instituto de Química – USP)
Assis Vicente Benedetti	(Instituto de Química – Unesp)
Antonio Eduardo Mauro	(Instituto de Química – Unesp)
Antonio Tallarico Adorno	(Instituto de Química – Unesp)

Conselho Consultivo / Advisory Board

Pere Lluis Cabot	(Facultad de Química – Universitat de Barcelona)
Julien F. C. Boodts	(Instituto de Química – UFU – Uberlândia)
Oscar L. Malta	(Departamento de Química Fundamental – UFPE)
Jairton Dupont	(Instituto de Química – UFRGS)

Assessoria Técnica / Technical Advisory

Valéria Aparecida Moreira Novelli

Publicação trimestral / Quarterly publication

Assinaturas / Subscriptions

Instituto de Química - Unesp

Caixa Postal 355

14801-970 Araraquara-SP

Distribuição e Permutas / Distribution and Exchanges

Coordenadoria Geral de Bibliotecas da Unesp

Avenida Vicente Ferreira, 1278 – C. P. 603

17515-000 Marília – SP

ECLÉTICA QUÍMICA

São Paulo, SP - Brasil 1976

1976-2004, 1-29

2005, 30 n.1

ISSN 0100-4670

ECQUDX

Os artigos publicados na *Eclética Química* são indexados por:

The articles published in Eclética Química are indexed by :

Abstracts Journal / Referativnyi Zhurnal (Moscou – Rússia); Analytical Abstracts; Biotechnology Citation Index; Chemical Abstracts; Chemistry Citation Index; Materials Science Citation Index; SciELO; Web of Science.

Sumário
Contents

Determinação do mecanismo de destruição de células mediado por *meso*-tetramesitylporfirina, octaetylporfirina, octaethylporfirina de vanadil e luz visível

Determination of the mechanism of destruction of cell mediated by *meso*-tetramesitylporphyrin, octaethylporphyrin, vanadyl octaethylporphyrin and visible light

- J. N. Ribeiro, R. A. Jorge 07

Synthesis, characterization and thermal behaviour of solid state compounds of 4-methoxybenzoate with Manganese, Nickel and Copper.

Síntese, caracterização e comportamento térmico dos 4-metoxibenzoatos de manganês, níquel e cobre, no estado sólido.

- E. C. Rodrigues, A. C. Vallejo, E.Y. Ionashiro, G. Bannach, M. Ionashiro 15

Determinação de paracetamol em produtos farmacêuticos empregando um sistema de análise por injeção em fluxo com geração de ácido nitroso

Determination of paracetamol in pharmaceutical products using a flow injection analysis system with generation of nitrous acid.

- W. T. Suarez, H. J. Vieira, O. Fatibello-Filho 21

Spectrophotometric determination of diclofenac in pharmaceutical preparations assisted by microwave oven

Determinação espectrofotométrica de diclofenaco em preparações farmacêuticas assistida por forno de microondas

- Eduardo G. Ciapina, Alberto O. Santini, Patrícia Los Weinert, Mara A. Gotardo, Helena R. Pezza, Leonardo Pezza 29

Lychnophoric acid from *Lychnophora pinaster*: a complete and unequivocal assignment by NMR spectroscopy

Atribuição completa e inequívoca dos sinais de deslocamento químico dos átomos de carbono e hidrogênio do ácido lycnofórico extraído de *Lychnophora pinaster*

- D. Silveira, J. D. de Souza Filho, A. B. de Oliveira, D. S. Raslan 37



Synthetic model of a new deoxybenzoin derivative from <i>Deguelia hatschbachii</i> A.M.G. Azevedo	43
Modelo sintético de um novo derivado de desoxibenzoína de <i>Deguelia hatschbachii</i> A.M.G. Azevedo	
<i>A. F. Magalhães, E. G. Magalhães, G. Trazzi, V. R. de S. Moraes</i>	
The Li ⁺ , Na ⁺ and K ⁺ ion exchange reaction process on the surface of mixed oxide SiO ₂ /TiO ₂ /Sb ₂ O ₃ surface prepared by the Sol-Gel processing method	
O processo da reação de troca iônica de Li ⁺ , Na ⁺ e K ⁺ na superfície do óxido misto SiO ₂ /TiO ₂ /Sb ₂ O ₃ preparado pelo método de processamento Sol-Gel	
<i>C. U. Ferreira, J. E. Gonçalves, Y. V. Kholin, Y. Gushikem</i>	51
Synthesis, structural and morphological characterization of CeO ₂ –ZnO nanosized powder systems from Pechini's method	
Síntese e caracterização estrutural e morfológica de partículas nanométricas do sistema CeO ₂ –ZnO a partir do método Pechini	
<i>C. Peverari, A. M. Pires, R. R. Gonçalves, O. A. Serra</i>	59
Use of experimental design in the optimisation of a solid phase preconcentration system for Cobalt determination by GFAAS	
Uso de planejamento experimental na otimização de um sistema de pré-concentração em fase sólida para a determinação de cobalto por GFAAS	
<i>G. D. Matos, C. R. T. Tarley, S. L. C. Ferreira, M. A. Z. Arruda</i>	65
Atividade eletrocatalítica de eletrodos compostos por Pt, RuO ₂ e SnO ₂ para a eletrooxidação de formaldeído e ácido fórmico	
Electrocatalytical activity of Pt, SnO ₂ and RuO ₂ mixed electrodes for the electrooxidation of formic acid and formaldehyde	
<i>L.P.R. Profeti, D. Profeti, P. Olivi</i>	75
Índice de Assuntos	85
Subject Index	57
Índice de Autores / Authors Index	89
Instruções aos autores / Instructions for Authors	91

Índice de Assuntos

- ácido fórmico, p. 75
ácido licnofórico, p. 37
análise em fluxo, p. 21
Asteraceae, p. 37
cobalto, p. 65
comportamento térmico, p. 15
constantes de estabilidade, p. 51
diclofenaco, p. 29
Deguelia hatschbachii, p. 43
desoxibenzoína, p. 43
eletrodos de óxidos, p. 75
eletrooxidação, p. 75
espécies reativas de oxigênio, p. 7
espectrofotometria, p. 29
espuma de poliuretano, p. 65
formaldeído, p. 75
formulações farmacêuticas, p. 21
forno de microondas, p. 29
íons de metais alcalinos, p. 51
Leguminosae, p. 43
Lychnophora pinaster, p. 37
Mn, Ni, Cu, 4 - metoxibenzoato, p. 15
método Pechini, p. 59
nanopartículas, p. 59
óxido de cério, p. 59
óxido de zinco, p. 59
óxido misto de silica-titania-antimonia, p. 51
paracetamol, p. 21
p-cloranol, p. 29
planejamento experimental, p. 65
platina, p. 75
porfirinas, p. 7
preparações farmacêuticas, p. 29
sistema de pré-concentração, p. 65
terapia fotodinâmica, p. 7
troca iônica, p. 51

Subject Index

- alkaline metal ions, p. 51
Asteraceae, p. 37
cerium oxide, p. 59
cobalt, p. 65
Deguelia hatschbachii, p. 43
deoxybenzoin, p. 43
Diclofenac, p. 29
electrooxidation, p. 75
experimental designs, p. 65
formaldehyde, p. 75
formic acid, p. 75
flow injection spectrophotometry, p. 21
ion exchange, p. 51
Leguminosae, p. 43
Lychnophora pinaster, p. 37
microwave oven, p. 29
Mn, Ni, Cu, 4-methoxybenzoate, p. 15
nanopowder, p. 59
nitrous acid, p. 21
oxide electrodes, p. 75
paracetamol, p. 21
p-chloranil, p. 29
Pechini's method, p. 59
pharmaceutical preparations, p. 29
photodynamic therapy, p. 7
platinum, p. 75
polyurethane foam, p. 65
porphyrins, p. 7
preconcentration system, p. 65
reactive oxygen species, p. 7
silica-titania-antimonia mixed oxide, p. 51
spectrophotometry, p. 29
stability constants, p. 51
thermal behaviour, p. 15
zinc oxide, p. 59

Índice de Autores*Authors Index*

- Arruda, M. A. Z., p. 65
Bannach, G., p. 15
Ciapina, E. G., p. 29
Fatibello-Filho, O., p. 21
Ferreira, C. U., p. 51
Ferreira, S. L. C., p. 65
Gotardo, M. A., p. 29
Gonçalves, J. E., p. 51
Gonçalves, R. R., p. 59
Gushikem, Y., p. 51
Ionashiro E.Y., p. 15
Ionashiro, M., p. 15
Jorge, R. A., p. 7
Kholin, Y. V., p. 51
Magalhães, A. F., p. 43
Magalhães, E. G., p. 43
Matos, G. D., p. 65
Moraes, V. R. de S., p. 43
Oliveira, A. B. de, p. 37
Olivi, P., p. 75
Peverari, C., p. 59
Pezza, H. R., p. 29
Pezza, L., p. 29
Pires, A. M., p. 59
Profeti, D., p. 75
Profeti, L.P.R., p. 75
Raslan, D. S., p. 37
Ribeiro, J. N., p. 7
Rodrigues, E. C., p. 15
Santini, A. O., p. 29
Serra, O. A., p. 59
Silveira, D., p. 37
Souza Filho, J. D. de, p. 37
Suarez, W. T., p. 21
Tarley, C. R.T., p. 65
Trazzi, G., p. 43
Vallejo, A. C., p. 15
Vieira, H. J., p. 21
Weinert, P. L., p. 29